

Some notes from last time: fronts

high sfc pressure

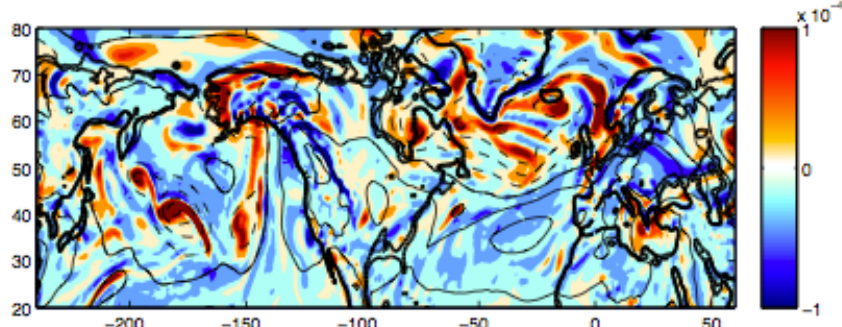
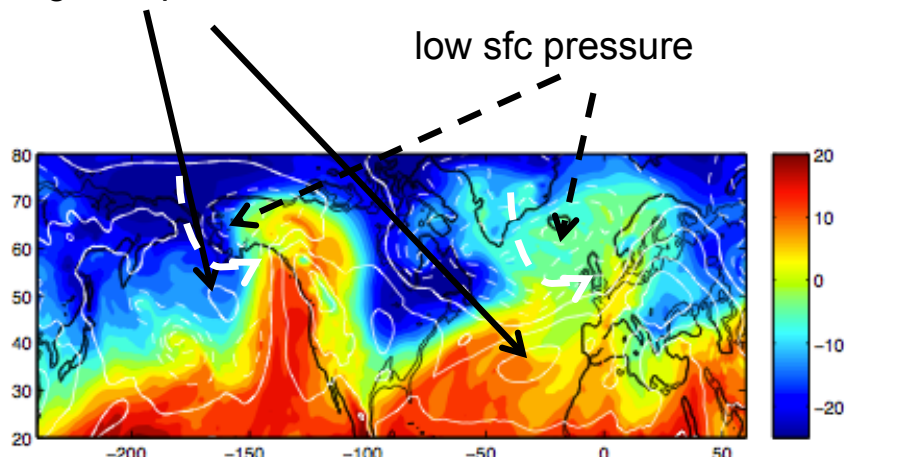


Figure 2 : En couleur: champ de température (en °C) à 850 hPa. En tirets, pression au niveau de la mer inférieure à 1013 hPa; en continu, supérieure à 1013 hPa. Figure 3 : en couleur, vorticité relative à 850 hPa.

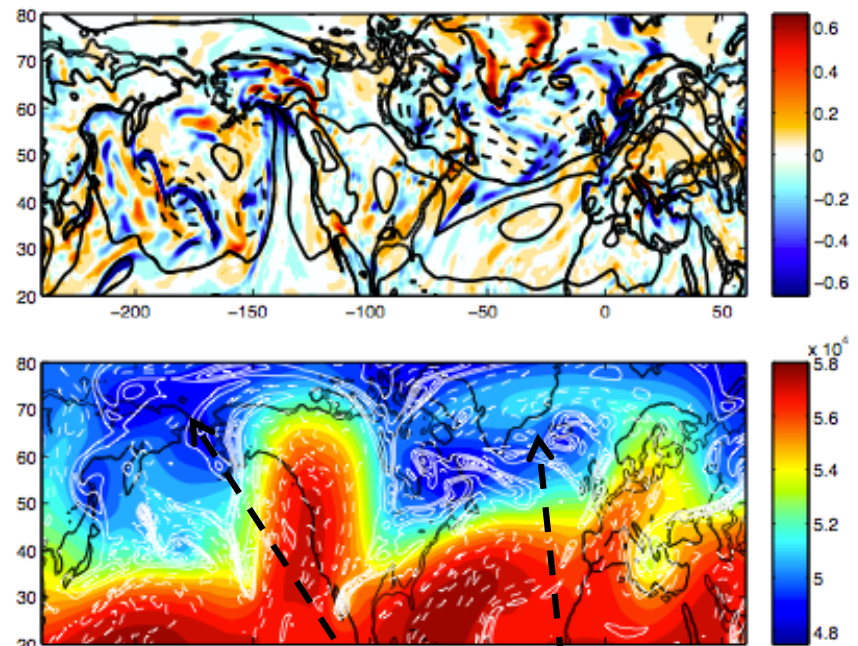


Figure 4 : en couleur, vitesse verticale (en hPa/s) à 850 hPa. Même situation météorologique que figures 2 et 3. Figure 5 : en couleur, géopotentiel (couleurs) et vorticité relative (contours blancs continus pour positive et en tirets pour négative) à 500 hPa.

low 500 geopotential

Some notes from last time: fronts

high sfc pressure

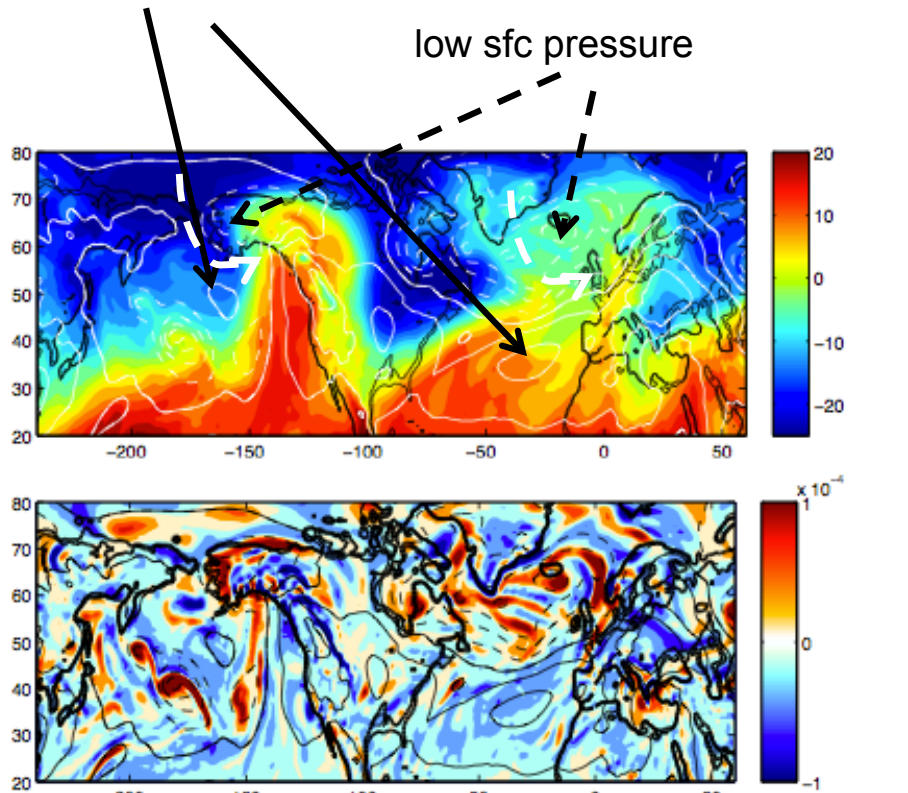


Figure 2 : En couleur: champ de température (en °C) à 850 hPa. En tirets, pression au niveau de la mer inférieure à 1013 hPa; en continu, supérieure à 1013 hPa. Figure 3 : en couleur, vorticité relative à 850 hPa.

low sfc pressure \Leftrightarrow fronts and upward motion

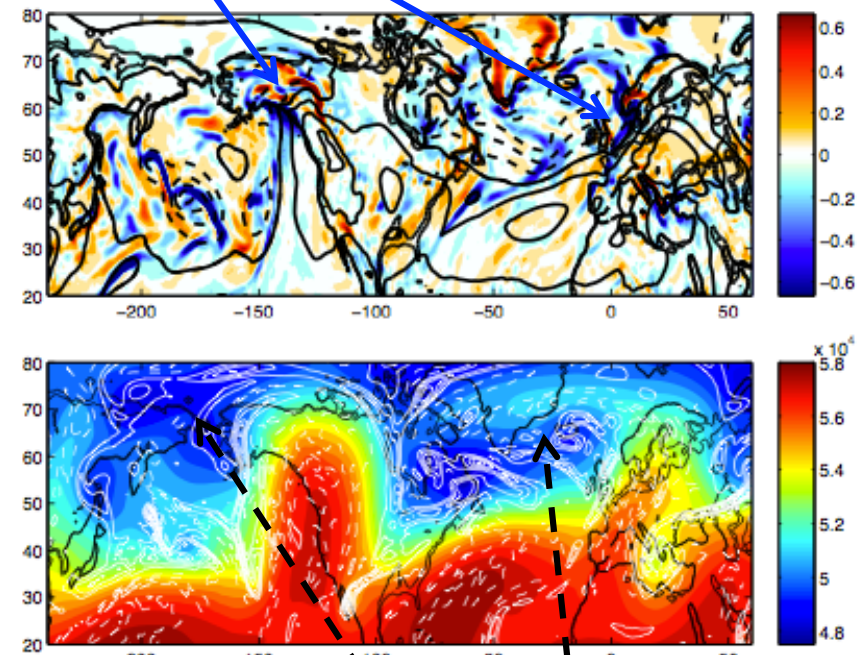


Figure 4 : en couleur, vitesse verticale (en hPa/s) à 850 hPa. Même situation météorologique que figures 2 et 3. Figure 5 : en couleur, géopotentiel (couleurs) et vorticité relative (contours blancs continus pour positive et en tirets pour négative) à 500 hPa.

low 500 geopotential



Fronts:

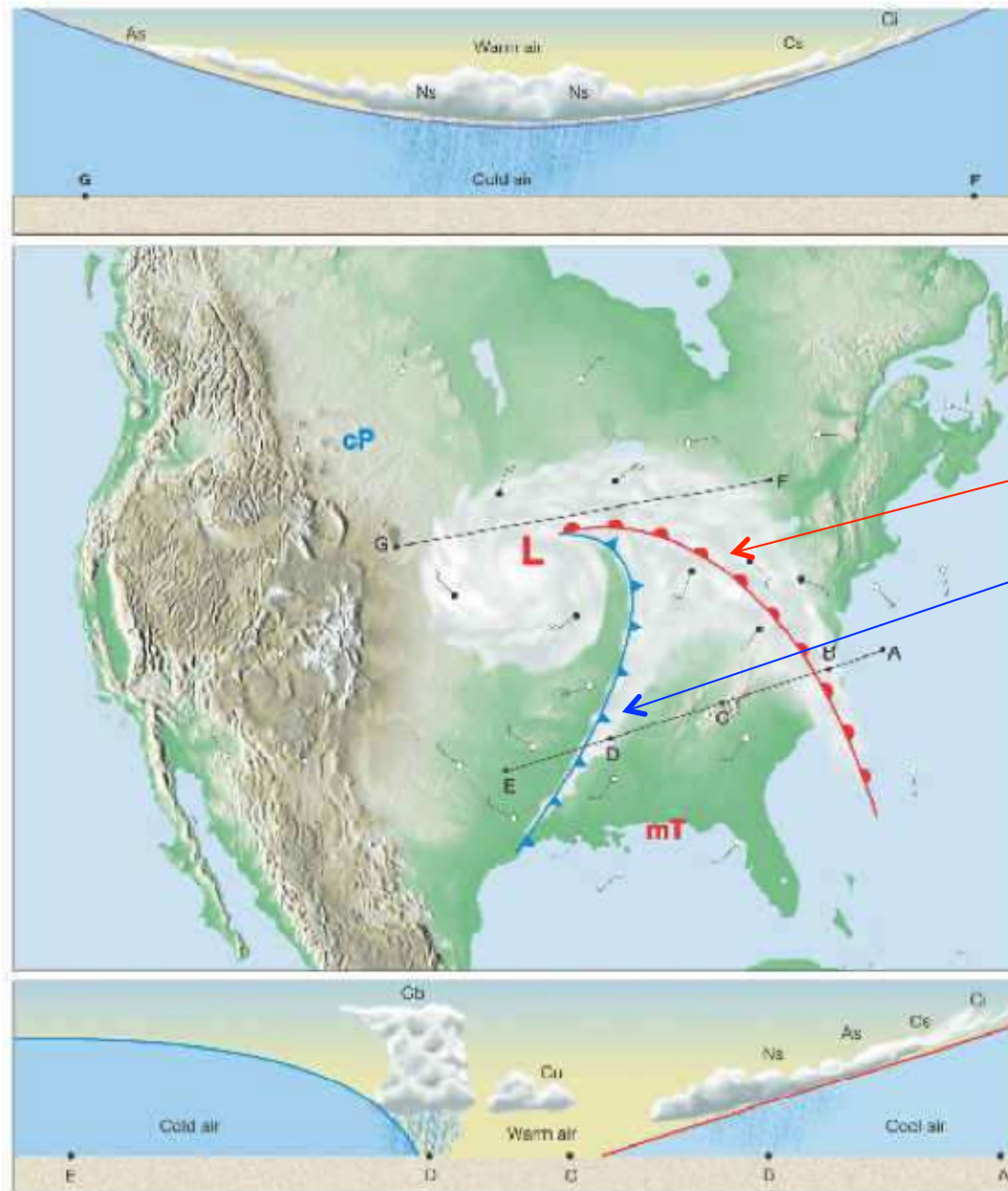


Figure 21 : représentation schématique de sections verticales à travers une dépression

warm front
cold front
=>
steeper
faster
sharp cloudy edge



Figure 13 : photo lors d'un passage d'un front froid.

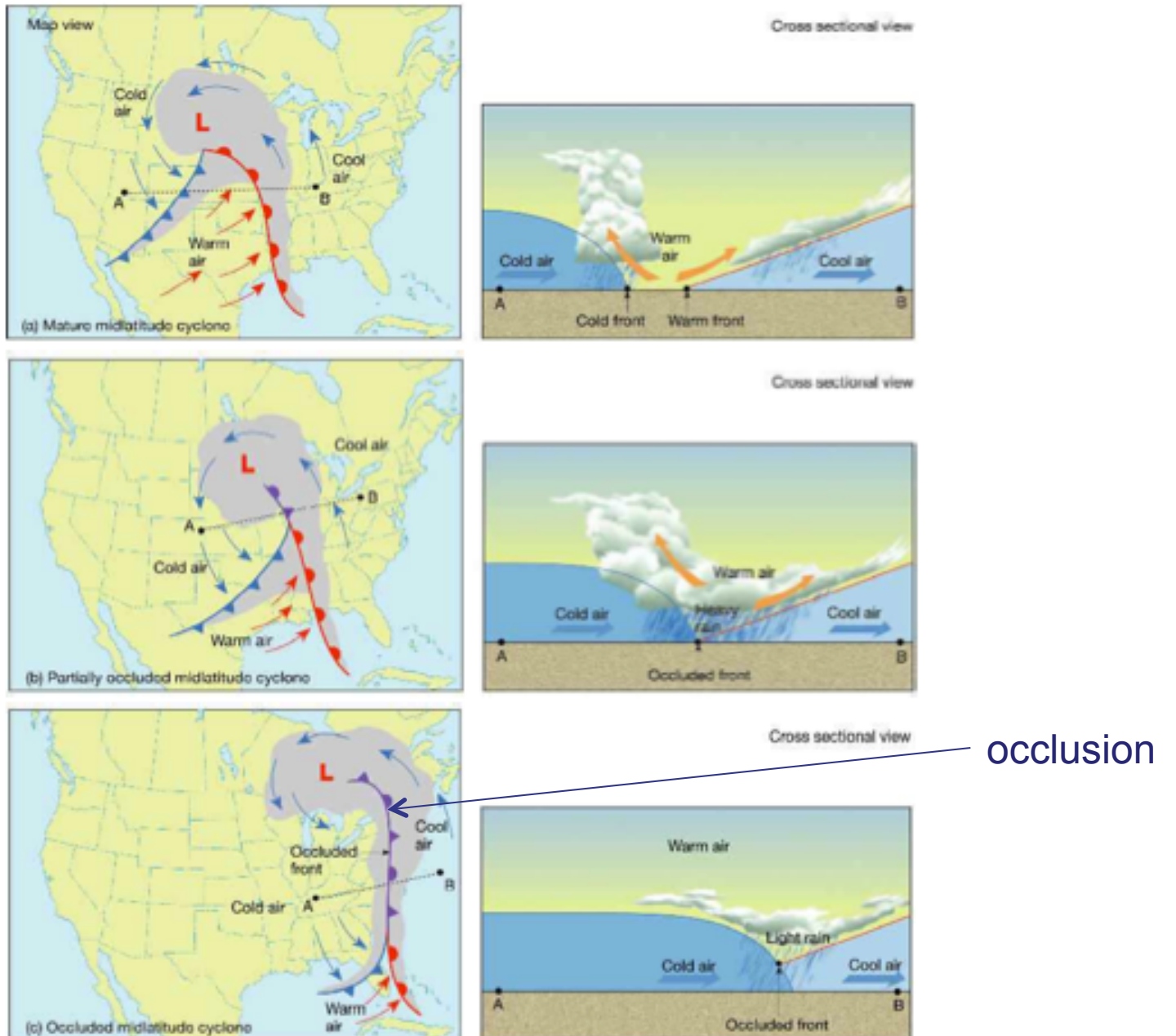


Figure 30 : développement d'une occlusion.

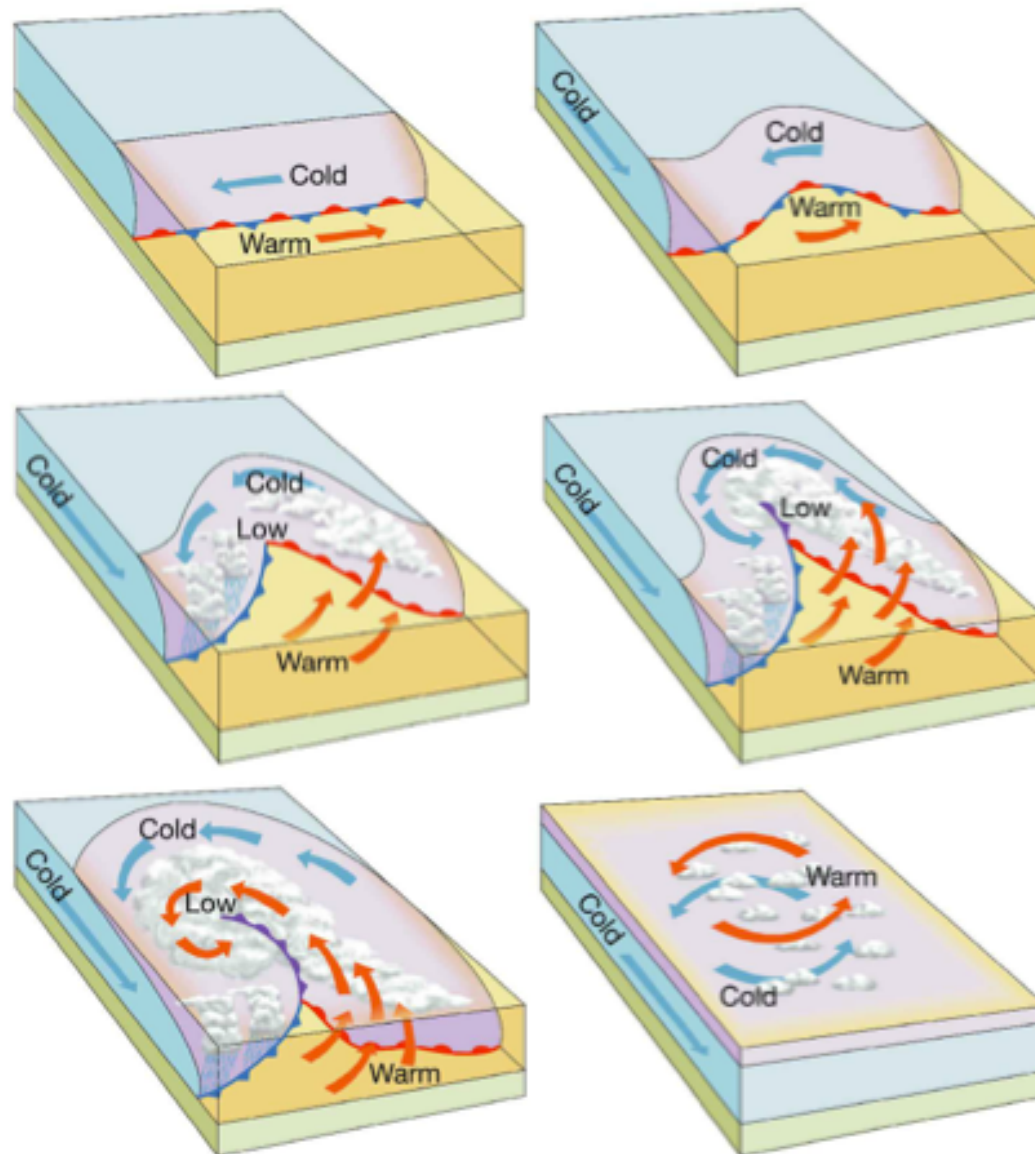


Figure 29 : schéma de développement d'une perturbation atmosphérique.

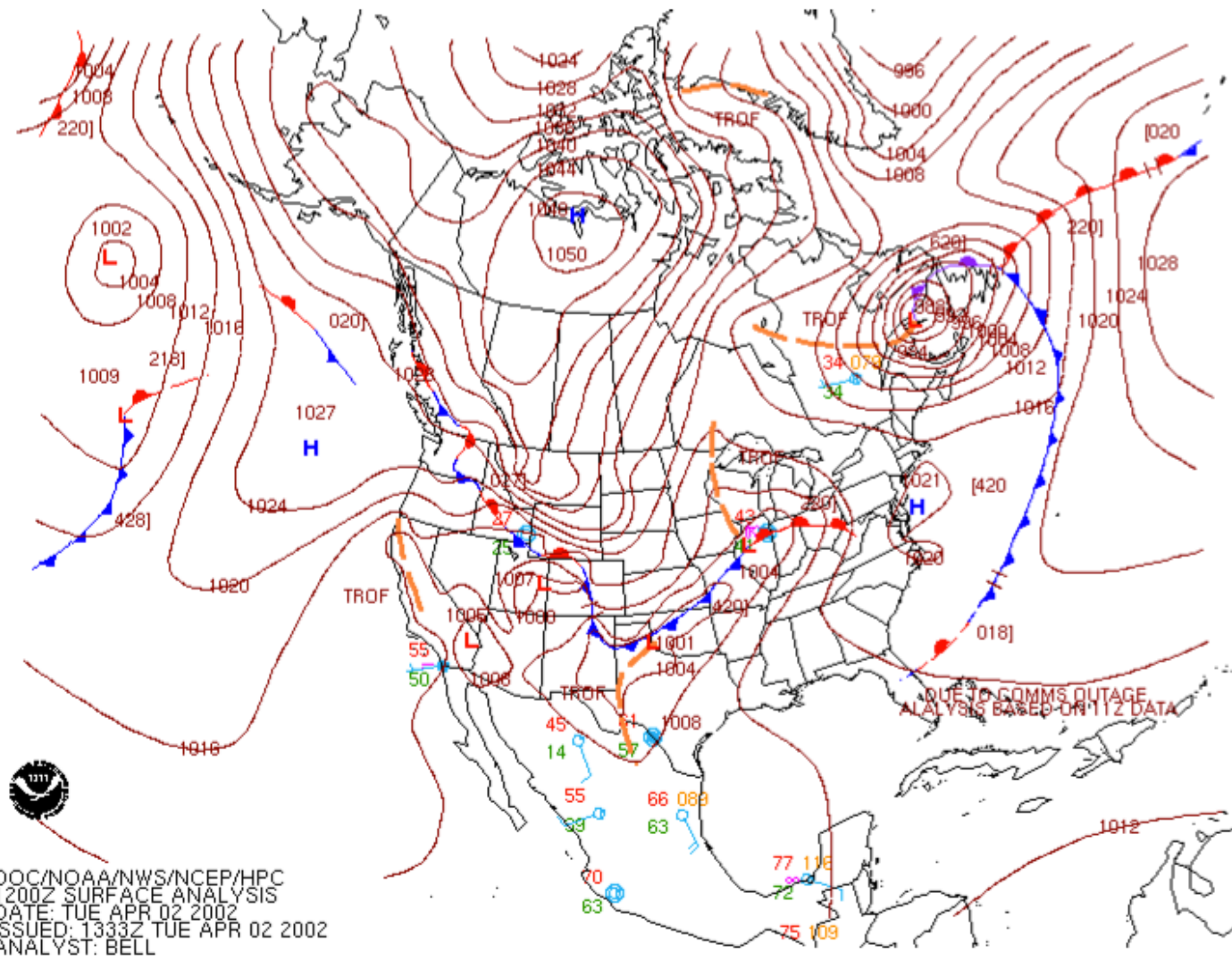
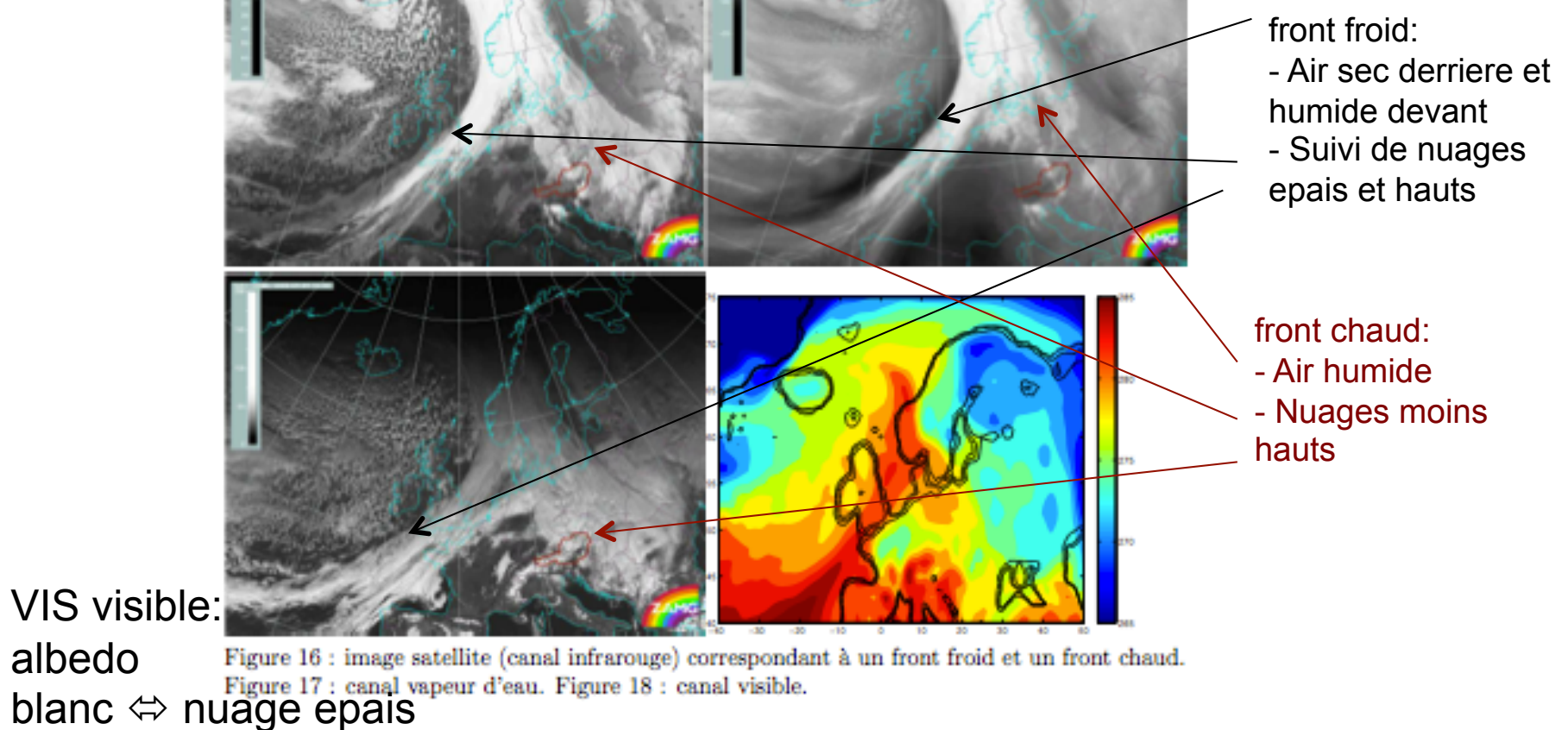


Figure 31 : exemple de carte météorologique avec fronts.

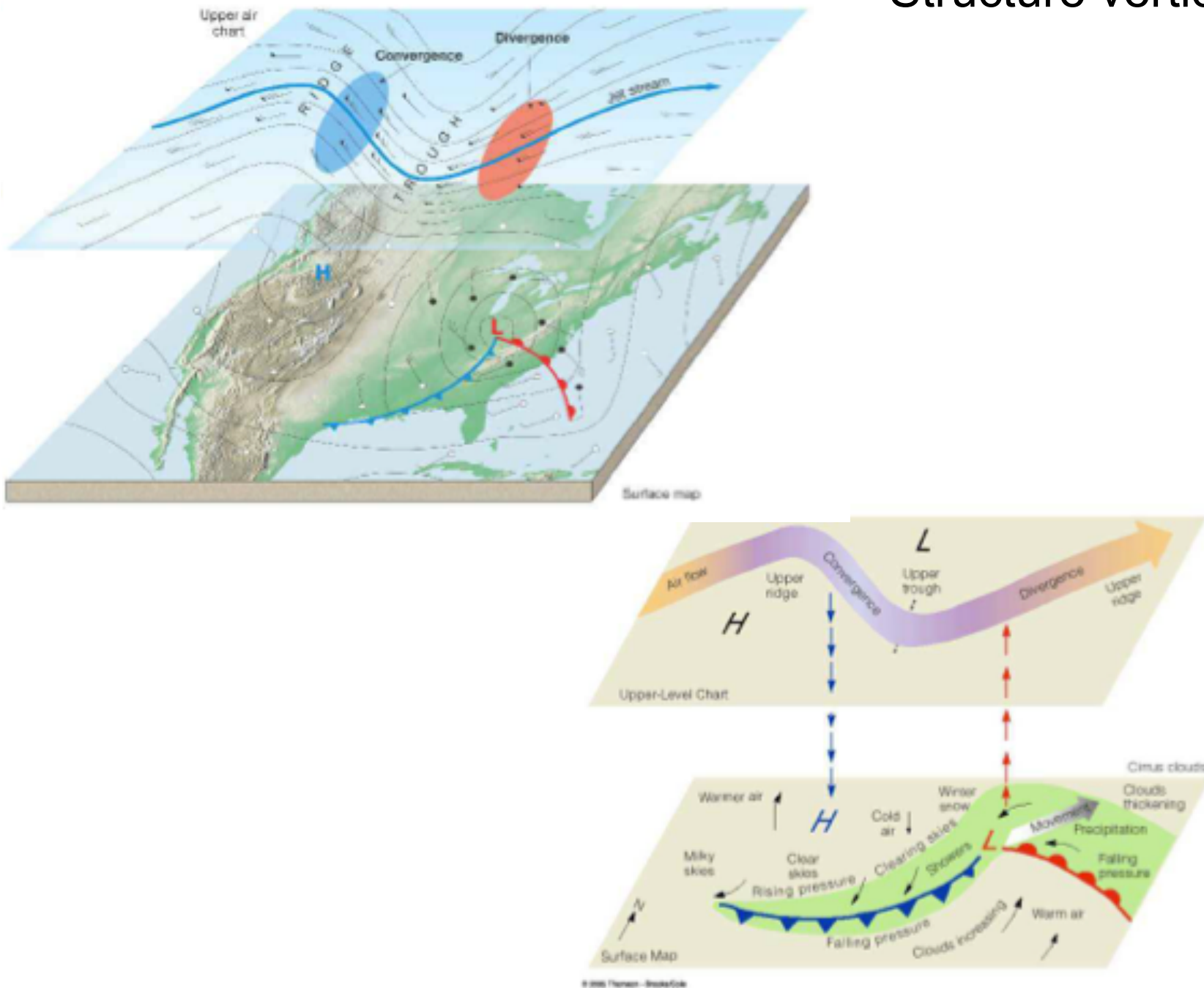
Image Satellite

IR infrarouge: T de l'objet émettant le rayonnement
faible valeur \Leftrightarrow blanc \Leftrightarrow nuages d'altitude

WV vapeur d'eau: blanc \Leftrightarrow humide

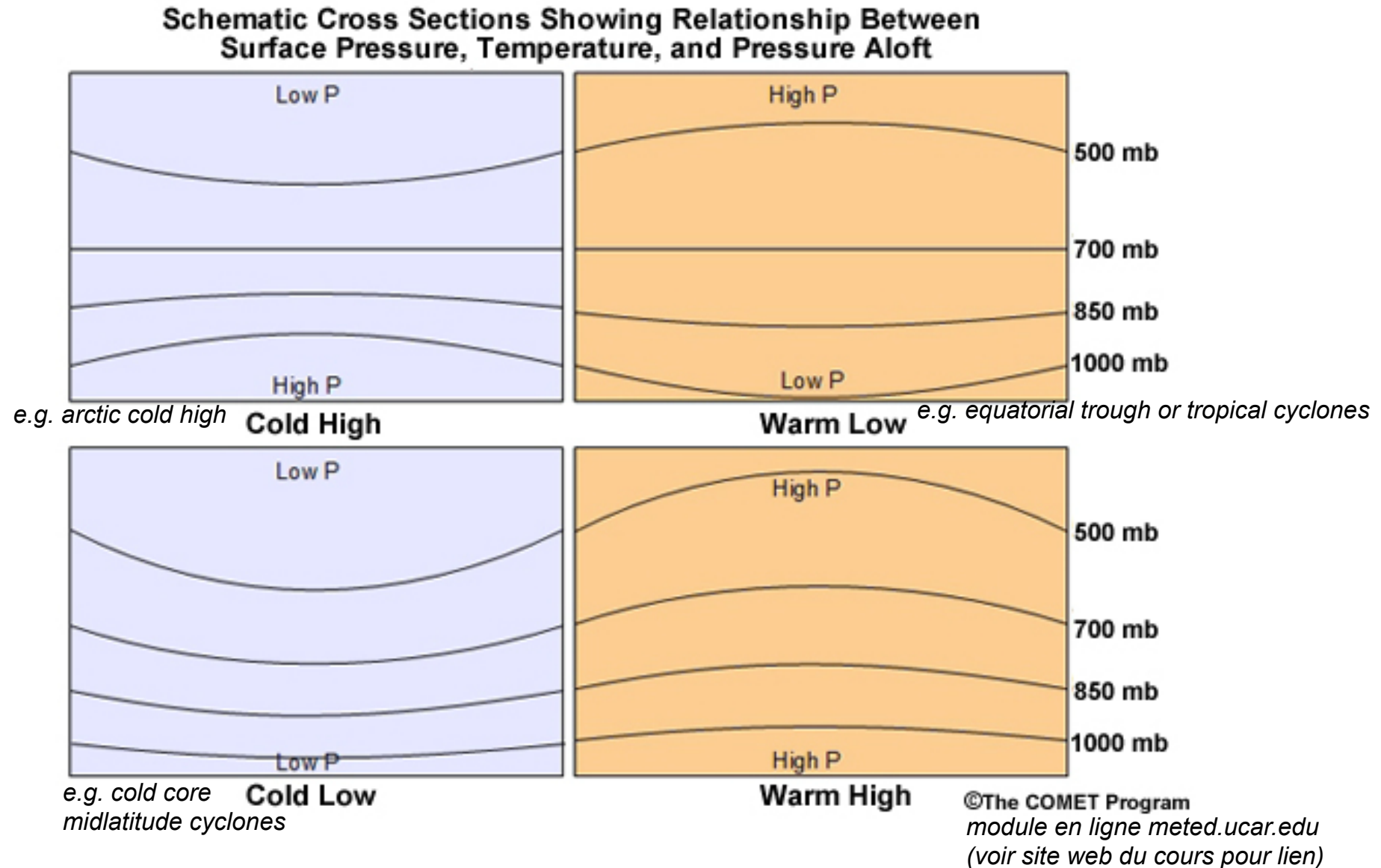


Structure verticale



Figures 3 : représentation schématique du développement des perturbations atmosphériques

Remarque 1: sur la structure verticale des systèmes hautes/basses pression

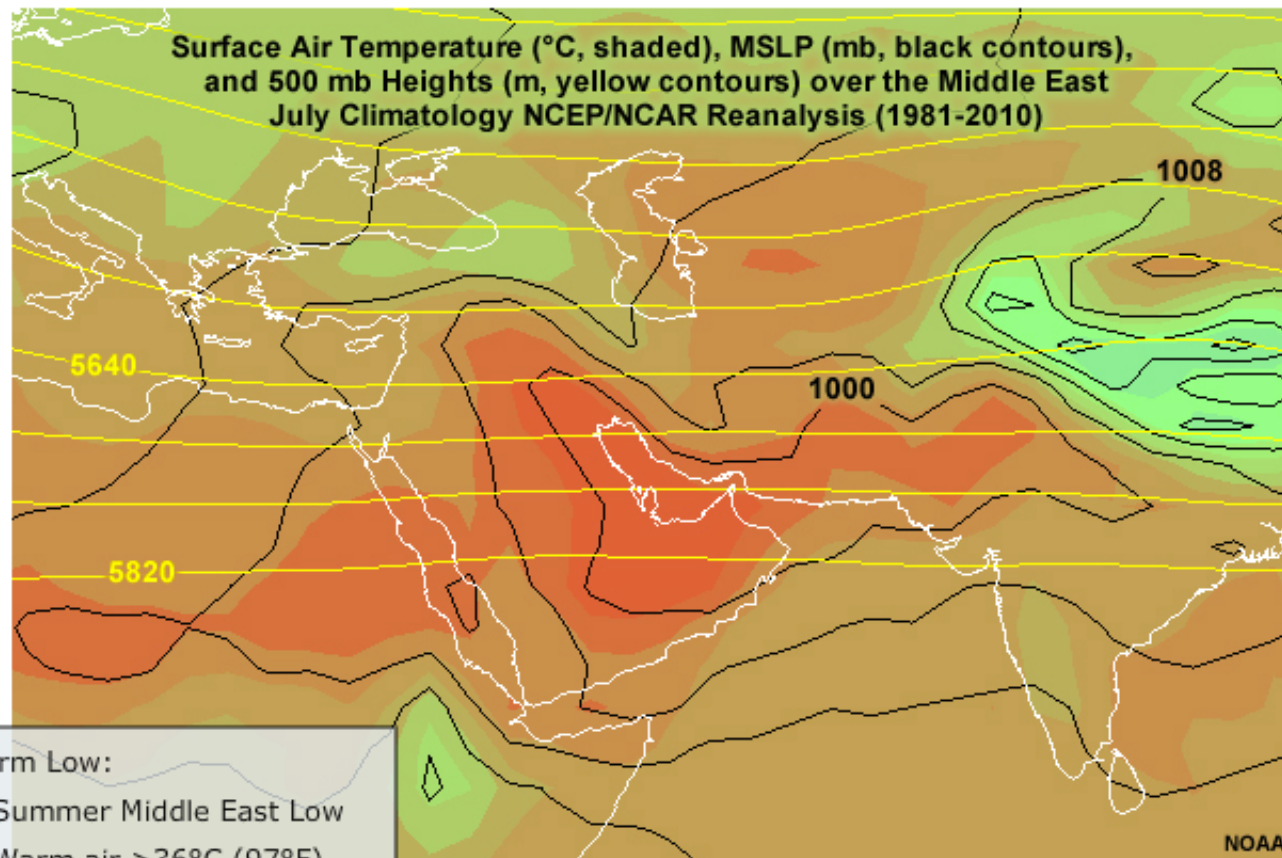


- ⇒ Not always same signal at the surface and at 500mb.
- ⇒ Depends on T, latitude...

Warm Low

 Download

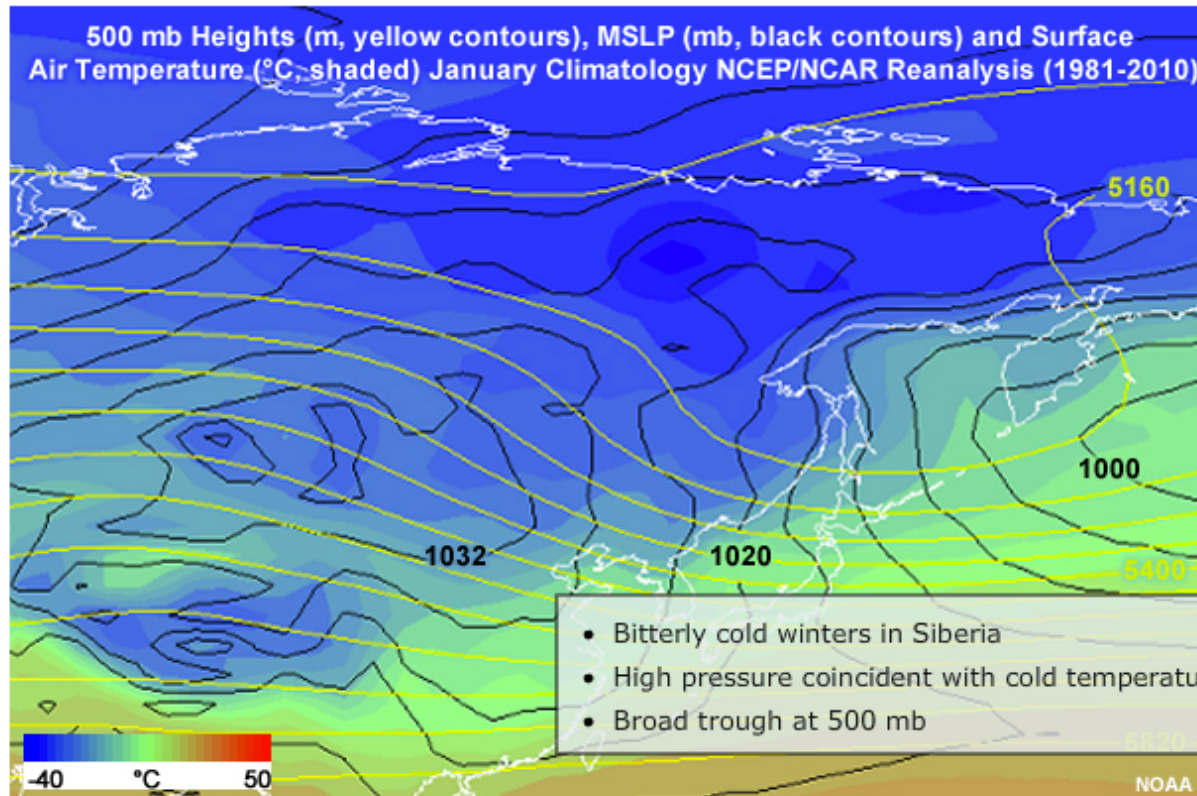
▶ 0:34 | 0:35



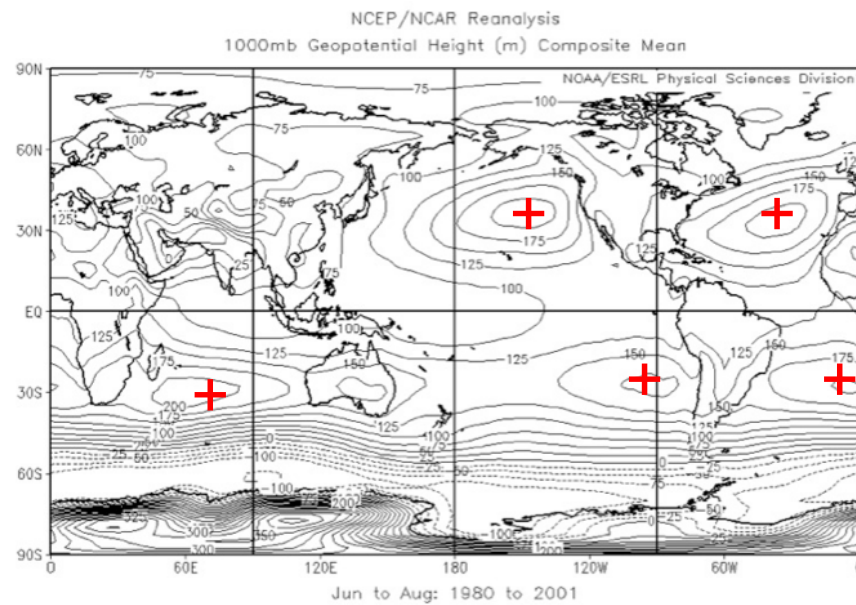
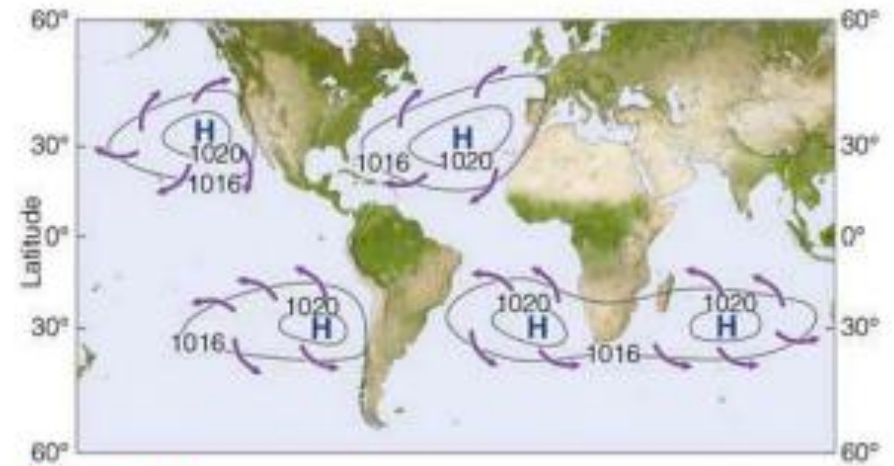
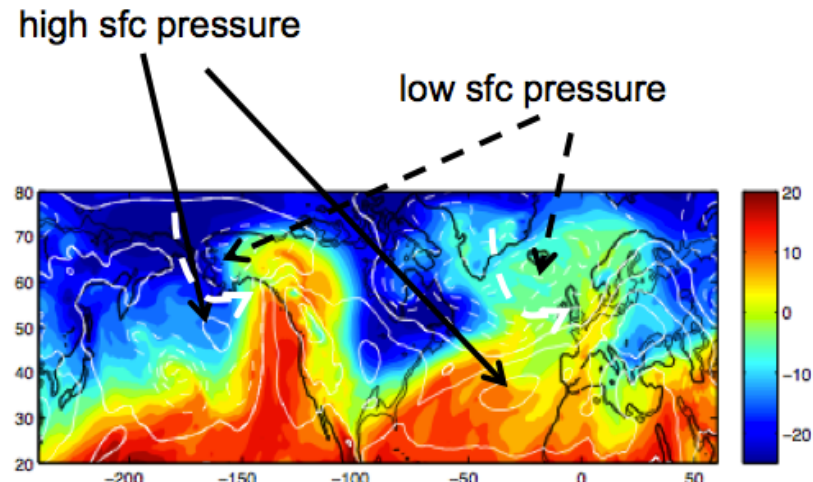
Cold High

 Download

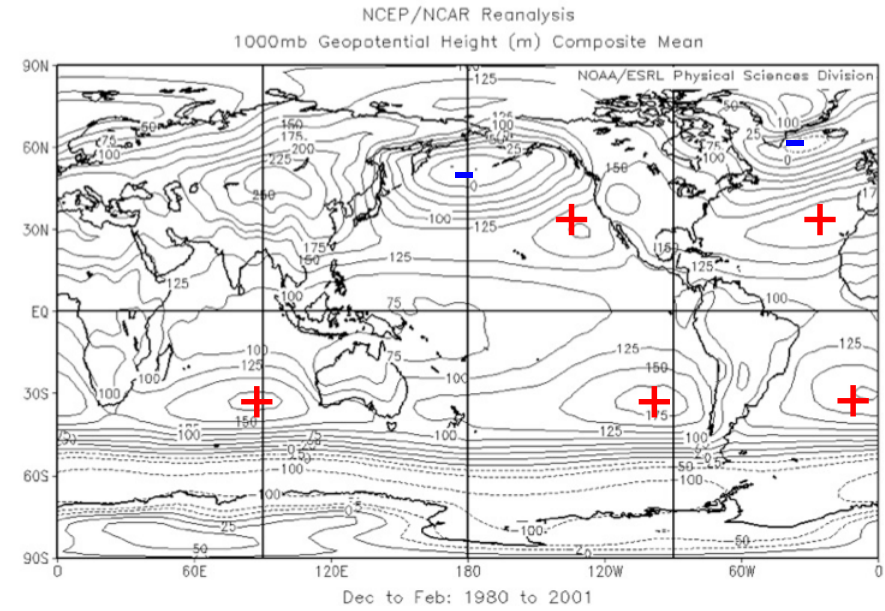
▶ 0:24 | 0:24 



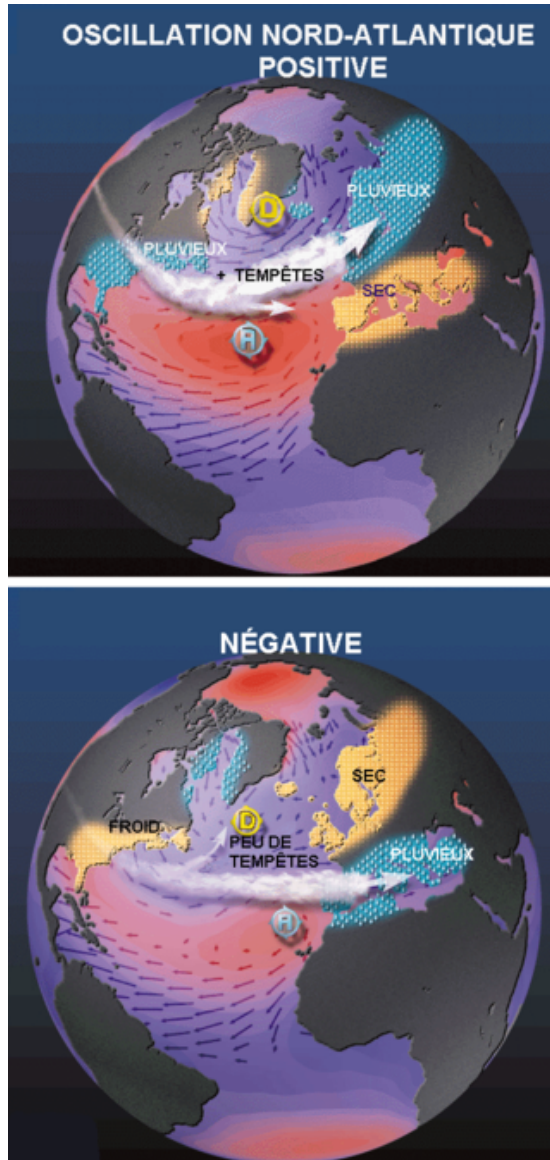
Remarque 2: sur les hautes pressions stationnaires sur océan



high p \leftrightarrow descending branch Hadley circulation

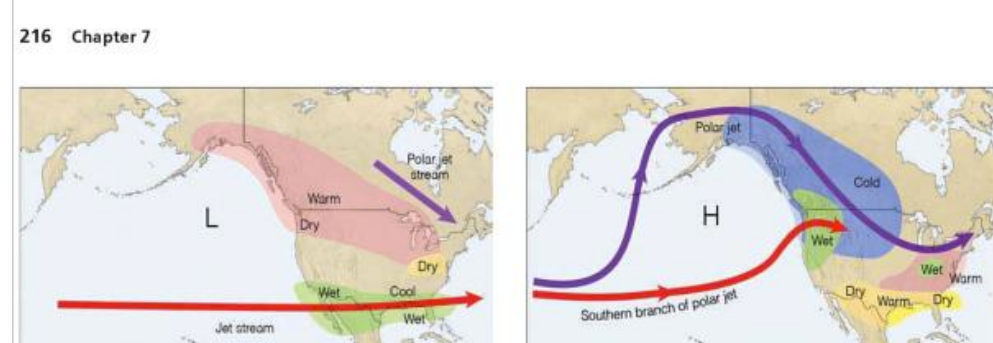


Peixoto and Oort, see course website for reference



anticyclone des Açores +
dépression d'Islande
⇒ Oscillation Nord-Atlantique (positive ⇔ forte
différence de pression)

Impact sur Europe du nord:
+ hivers doux et pluvieux
- hivers froids et secs



•**Figure 7.42** Typical winter weather patterns across North America during an El Niño warm event (a) and during a La Niña cold event (b). During El Niño conditions, a persistent trough of low pressure forms over the north Pacific and, to the south of the low, the jet stream (from off the Pacific) steers wet weather and cyclonic storms into California and the southern part of the United States. During La Niña conditions, a persistent high-pressure area forms south of Alaska forcing the polar jet stream and accompanying cold air over much of western North America. The southern branch of the polar jet stream directs moist air from the ocean into the Pacific Northwest, producing a wet winter for that region.